

ОСНОВНОЕ НАПРЯЖЕННОЕ СОСТОЯНИЕ КОНИЧЕСКИХ ОБОЛОЧЕК ОТ ДЕЙСТВИЯ ТОРЦОВЫХ СИЛ, ПРИЛОЖЕННЫХ ВДОЛЬ ОБРАЗУЮЩИХ

Н. А. Шеломов

Рассмотрим тонкостенную коническую оболочку постоянной толщины, срединная поверхность которой отнесена к системе ортогональных криволинейных координат α, β . На торце $\alpha = \alpha_1$ вдоль образующей $\beta_0 = \text{const}$ к оболочке приложена сила N . Будем считать, что возникающее под действием этой силы основное напряженное состояние оболочки состоит из нормальных T_1 и сдвигающих S тангенциальных погонных усилий.

По условию равновесия усилия T_1 и S связаны между собой:

$$\frac{\partial}{\partial \alpha} (BT_1) + \frac{\partial}{\partial \beta} (AS) = 0, \quad (1)$$

где $A = 1$, $B(\alpha, \beta) = \alpha \cdot B_0(\beta)$ — коэффициенты первой квадратичной формы срединной поверхности оболочки.

Поэтому, если T_1 задать в виде некоторого конечного разложения

$$T_1 = \frac{1}{\alpha B_0(\beta)} \cdot \sum_{i=1}^{i=p} c_i \varphi_i(\alpha) \cdot n_i(\beta). \quad (2)$$

усилие S может быть найдено по (1):

$$S = - \sum_{i=1}^{i=p} \dot{\varphi}_i(\alpha) \left[c_i \int_{\beta_0}^{\beta} n_i(\beta) \cdot d\beta - g_i \right]. \quad (3)$$

В векторной форме

$$\begin{aligned} T_1 &= T_1 \cdot \frac{M_\alpha}{A} \\ S &= S \cdot \frac{M_\beta}{B} \end{aligned} \quad (4)$$

где $\frac{M_\alpha}{A}$, $\frac{M_\beta}{B}$ — единичные векторы, касательные к кривым $\beta = \text{const}$ и $\alpha = \text{const}$, соответственно.

Отсюда следует, что основное напряженное состояние оболочки полностью определяется функциями $\varphi_i(\alpha)$, $n_i(\beta)$ и постоянными c_i и g_i .

Функции $n_i(\beta)$ задаются в начале расчета. Функции $\varphi_i(\alpha)$ и произвольные постоянные c_i , g_i определяются из условий равновесия отсеченной части конуса, заключенной между сечениями $\alpha_1 = \text{const}$ и $\alpha = \text{const}$, с помощью принятой гипотезы,

Условия равновесия

Если полюс векторного момента поместить в вершине конуса, то получим:

$$\left. \begin{aligned} \oint (T_1 + S) B d\beta &= -N \\ \oint (r \times S) B d\beta &= 0 \end{aligned} \right\} \quad (5)$$

или в развернутом виде:

$$\sum_{i=1}^{i=p} \left\{ c_i \varphi_i(\alpha) \oint n_i(\beta) \cdot M_\alpha \cdot d\beta + \alpha \cdot \dot{\varphi}_i(\alpha) \oint \left[g_i - c_i \int_0^\beta n_i(\beta) d\beta \right] \cdot \frac{M_\beta}{B} \cdot B_0(\beta) d\beta \right\} = -N, \quad (6)$$

$$\sum_{i=1}^{i=p} \alpha \cdot \dot{\varphi}_i(\alpha) \oint \left[g_i - c_i \int_0^\beta n_i(\beta) d\beta \right] \cdot B_0(\beta) \left(r \times \frac{M_\beta}{B} \right) d\beta = 0.$$

Первые три функции $\varphi_i(\alpha)$ разложения (2) принимаем равными единице. После этого уравнения (6) распадаются на две системы уравнений:

$$\sum_{i=1}^{i=3} c_i \oint n_i(\beta) \cdot M_\alpha d\beta = -N \quad (7)$$

и

$$\left. \begin{aligned} \sum_{j=4}^{j=p} \left\{ c_j \varphi_j(\alpha) \oint n_j(\beta) \cdot M_\alpha d\beta + \alpha \cdot \dot{\varphi}_j(\alpha) \oint \left[g_j - c_j \int_0^\beta n_j(\beta) d\beta \right] \cdot \frac{M_\beta}{B} \cdot B_0(\beta) d\beta \right\} &= 0 \\ \sum_{j=4}^{j=p} \alpha \cdot \dot{\varphi}_j(\alpha) \oint \left[g_j - c_j \int_0^\beta n_j(\beta) d\beta \right] \cdot B_0(\beta) \left(r \times \frac{M_\beta}{B} \right) \cdot d\beta &= 0 \end{aligned} \right\} \quad (8)$$

Система (7) служит для определения c_i ($i=1, 2, 3$). Система (8) однородная и содержит остальные j -тые члены разложения (2) ($i=i>3$). Из (8) при произвольных $\varphi_j(\alpha)$ и c_j следуют условия самоуравновешенности функций $n_j(\beta)$. Для определения $\varphi_j(\alpha)$ и c_j необходимо либо решить вариационную задачу, либо использовать какую-нибудь гипотезу.

Гипотеза

Самоуравновешенные напряженные состояния типа T_{1j} имеют тенденцию к затуханию и при $\alpha \gg \alpha_1$

$$\left. \begin{aligned} \varphi_j(\alpha) &\approx 0, \\ \alpha &\gg \alpha_1. \end{aligned} \right\} \quad (9)$$

Равенство (9) служит идейной основой гипотезы Навье для поверхности нормальных напряжений, согласно которой в разложении (2) учитываются только три первые члена, определяемые из уравнения (7).

В действительности скорость затухания T_{1j} в тонкостенных оболочках нулевой Гауссовой кривизны весьма незначительна. Поэтому для оболочек средней и малой длины равенство (9) практически не осуществляется в пределах оболочки. В этом случае на всем интер-

вале изменения α более предпочтительным может оказаться другое приближенное равенство:

$$\varphi_j(\alpha) \approx 1, \quad (10)$$

которое будет тем точнее, чем меньше относительная толщина оболочки h^* и изменяемость функции $n_j(\beta)^1$.

Отсюда следует, что самоуравновешенные члены разложения (2) с малой изменяемостью должны учитываться при определении основного напряженного состояния оболочки.

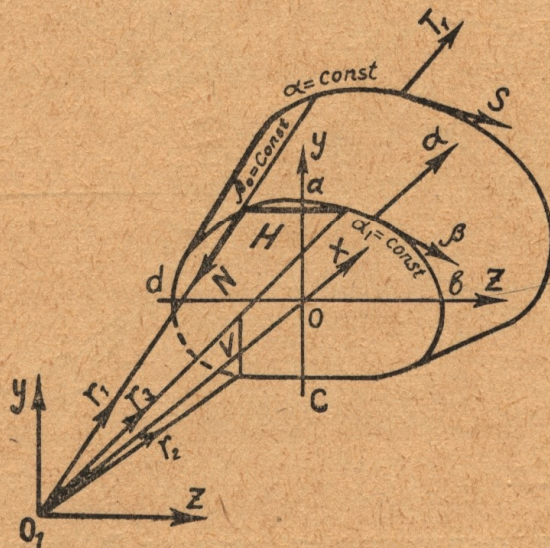


Рис. 1.

Необходимыми для этого условиями являются: принимаемое нами условие максимума усилия T_1 по всей образующей $\beta_0 = \text{const}$ (вдоль которой приложена сила N).

$$\frac{\partial T_1(\alpha, \beta_0)}{\partial \beta} = 0 \quad (11)$$

и гипотеза о совпадении плоскости действия внешних и внутренних сил, предложенная профессором Л. П. Винокуровым для тонкостенных систем постоянного сечения.

При нагружении оболочки силой N все плоскости, проходящие через образующую $\beta_0 = \text{const}$ суть плоскости действия внешних сил, в том числе и плоскости H и V (рис. 1). Плоскость $H \parallel OZ$, плоскость $V \parallel OY$ (OZ, OY — главные центральные оси сечения $\alpha = \text{const}$).

Указанная гипотеза, применительно к конической оболочке при рассматриваемом случае нагружения, выражается двумя векторными уравнениями:

$$\lambda_1 R_{1T} + \lambda_2 r_1 + \lambda_3 r_2 = 0, \quad (12)$$

$$\nu_1 R_{2T} + \nu_2 r_1 + \nu_3 r_3 = 0, \quad (13)$$

¹ «Под этим (изменяемостью) мы условимся понимать свойство функции, характеризующее числом μ , равным отношению некоторого среднего (для рассматриваемого интервала) абсолютного значения ее производной к среднему абсолютному значению самой функции...».

(А. Л. Гольденвейзер. Теория упругих тонких оболочек, ГИТТЛ, М., 1953, стр. 414).

$R_{1T} = \int_{dab} T_1 B d\beta$, $R_{2T} = \int_{cda} T_1 B d\beta$ — равнодействующие усилий T_1 соответственно по дугам dab и cda .

(12) — условие компланарности вектора R_{1T} двум не коллинеарным векторам r_1 и r_2 в плоскости V ;

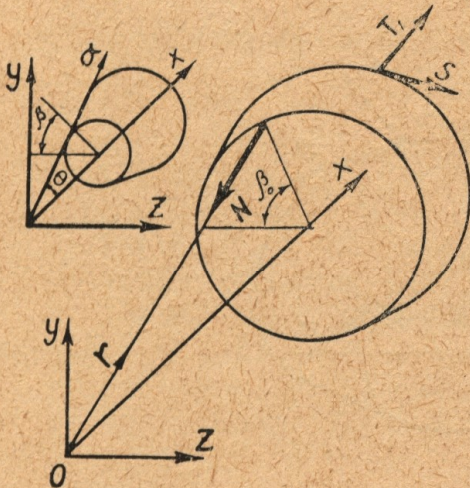


Рис. 2.

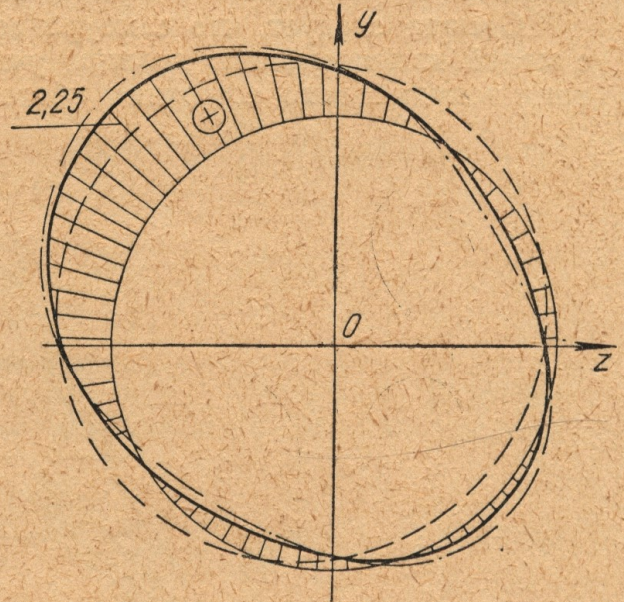


Рис. 3.

(13) — условие компланарности вектора R_{2T} двум не коллинеарным векторам r_1 и r_3 в плоскости H .

Пример. Круговая коническая оболочка с замкнутым контуром нагружена силой $N = -N \frac{M_\alpha(\beta_0)}{A}$ вдоль образующей $\beta_0 = \text{const}$. Геометрия оболочки представлена рис. 2 и следующими зависимостями:

$$M(\sigma, \beta) = ix + jy + kz = i\alpha \cos \theta + j\alpha \sin \theta \sin \beta + k(-\alpha \sin \theta \cos \beta)$$

$$A = 1; \quad B = \alpha \sin \theta; \quad \frac{M_\alpha}{A} = \frac{1}{A} \cdot \frac{\partial M}{\partial x}, \quad \frac{M_\beta}{B} = \frac{1}{B} \cdot \frac{\partial M}{\partial \beta}. \quad (14)$$

Найти T_1 и S .
Пусть

$$T_1 = \frac{1}{\alpha \sin \theta} [c_0 + c_1 \sin \beta + c_2 \cos \beta + c_3 \sin 2\beta + c_4 \cos 2\beta]. \quad (15)$$

Из условий (7), (11), (12), (в силу симметрии сечения условие (13) ничего не прибавляет к условию (12)) получим:

$$c_0 = \frac{N}{2\pi}; \quad c_1 = \frac{N \sin \beta_0}{\pi}; \quad c_2 = \frac{N \cos \beta_0}{\pi};$$

$$c_3 = \frac{\frac{3}{4} N \sin 2\beta_0}{\pi}; \quad c_4 = \frac{\frac{3}{4} N \cos 2\beta_0}{\pi}.$$

Таким образом,

$$S = 0$$

$$T_1 = \frac{N}{\pi \alpha \sin \theta} \left[\frac{1}{2} + \cos(\beta - \beta_0) + \frac{3}{4} \cos 2(\beta - \beta_0) \right]. \quad (16)$$

На рис. 3 представлены для сравнения законы измерения величины $\frac{T_{1\pi} \sin \theta}{N}$ на кривой $\alpha = \text{const}$ при $\beta_0 = 45^\circ$, полученные тремя спосо-

бами:

1. Предлагаемым методом (жирная сплошная линия).
2. Элементарным методом (пунктирная линия).
3. По теории безмоментных оболочек (путем разложения силы в ряд Фурье с учетом всех членов ряда с $\mu \leq 2$, штрихпунктирная линия).